

О ВОЗМОЖНОСТИ ПОЯВЛЕНИЯ ХАОТИЧЕСКИХ РЕШЕНИЙ В МОДЕЛИ УЗКОЗОННОГО ПОЛУПРОВОДНИКА В РЕЖИМЕ УДАРНОЙ ИОНИЗАЦИИ

Безручко Б. П., Ерастова Е. Н.

Микроволновое излучение из узкозонных полупроводниковых материалов, впервые обнаруженное в 1964 г. [1], имеет, как правило, непрерывный спектр, характерный для стохастических сигналов. Известно, что причинами стохастизации могут быть как непредсказуемое поведение системы очень большого количества элементов (классические шумы), так и сложное хаотическое поведение сильно нелинейных систем с малым (не менее 1.5) числом степеней свободы. Нелинейная хаотизация процессов в настоящее время обнаружена в целом ряде полупроводниковых систем [2-5]. Относительно большая интенсивность колебаний и наличие критических значений макропараметров (в эксперименте это постоянные ток или напряжение на образце), при которых в InSb возникает микроволновое излучение, позволяют предположить нелинейную природу стохастизации протекающих процессов. Целью работы является исследование возможности появления хаотических решений в простой нелинейной динамической модели InSb.

Исследована модель, описывающая неустойчивость пространственно однородных возмущений плотности неравновесной плазмы n , напряженности электрического поля E и скорости ударной ионизации γ , которая была рассмотрена в приложении к микроволновому излучению из узкозонных полупроводников в [6]. Учитываются процессы квадратичной объемной рекомбинации, лавинной генерации носителей электрическим полем и инерционность разогрева носителей, а также (дополнительно к модели [6]) наличие малого внешнего периодического воздействия, вводимого в качестве добавки в ток цепи. Для безразмерных переменных $\tau = \omega_0 t$, $x = (E - E_0) / E_1$, $y = (n - n_0) / n_0$, $z = (\gamma - \gamma_0) / \gamma_1$ исходная система уравнений имела вид

$$\begin{aligned} \dot{x} &= A [I \sin \Omega \tau - V(x)(1+y) - y], \\ \dot{y} &= B(1+y)(z - \beta y), \\ \dot{z} &= C[G(x) - z], \end{aligned} \quad (1)$$

где $V(x) = [v_g(E) - v_g(E_0)] / v_g(E_0)$, $G(x) = [\gamma_0(E) - \gamma_0] / \gamma_1$, $\beta = \gamma_0 / \gamma_1$, $A = e v_g(E_0) \gamma_0 / \epsilon r \omega_0 E_1$, $B = \gamma_1 / \omega_0$, $C = (\omega_0 \tau_c)^{-1}$, E_0 , n_0 , γ_0 — значения в рабочей точке, E_1 , γ_1 — произвольные нормировочные коэффициенты соответствующей размерности, ω_0 — частота на пороге возбуждения неустойчивости при $I=0$. Здесь e — заряд электрона, ϵ — диэлектрическая постоянная, r — коэффициент квадратичной объемной рекомбинации, $v_g(E)$ и $\gamma_0(E)$ — статические зависимости дрейфовой скорости носителей и коэффициента ударной ионизации от электрического поля, а τ_c — характерное время запаздывания ударной ионизации, обусловленного инерционностью разогрева носителей, I и Ω — безразмерные амплитуда и частота внешнего воздействия. Известный для n -InSb эффект насыщения дрейфовой скорости в сильных электрических полях учитывался аппроксимирующей зависимостью

$$V(x) = \begin{cases} \mu_1 x, & x \geq x_2, \\ \mu_0 x - a(x - x_2)^2, & x_1 \leq x < x_2, \\ \mu x - a, & x < x_1, \end{cases} \quad (2)$$

где $a = (\mu - \mu_0) / 2 (x_2 - x_1)$, $a = (\mu - \mu_0) (x_2 + x_1) / 2$. Конкретные значения x_1 , $x_2 < 0$ выбирались таким образом, чтобы вблизи рабочей точки $x=0$ существовал короткий квадратичный участок, связывающий линейные участки с различными наклонами $\mu > \mu_0$. Зависимость коэффициента ударной ионизации

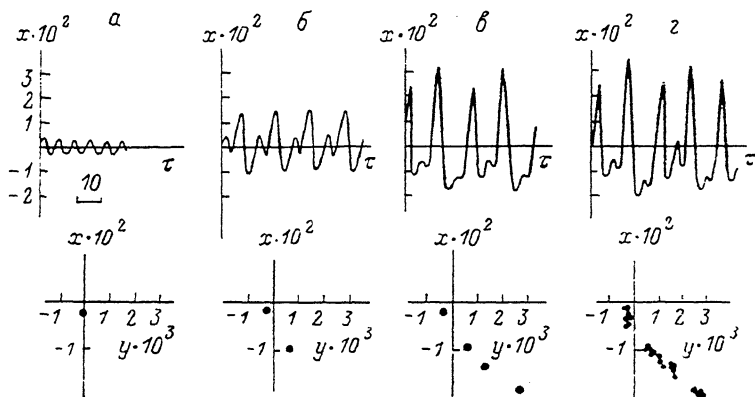
ппи для $n\text{-InSb}$ [6] аппроксимировалась прямой с малым наклоном ξ в области слабых полей ($x < x_3$) и нарастающим участком параболы в рабочей области:

$$G(x) = \begin{cases} \xi_0 x + bx^2, & x \geq x_3, \\ \xi x - bx_3^2, & x < x_3, \end{cases} \quad (3)$$

$x_3 = (\xi - \xi_0)/2b$, ξ_0 — параметр, определяемый из экспериментальной зависимости.

Интегрирование системы (1) проводилось методом Рунге—Кутты 4-го порядка с параметрами, характерными для $n\text{-InSb}$ [6]. Анализировались временные реализации, фазовые портреты и мультипликаторы предельных циклов.

Исследование модели в широкой области значений параметров и коэффициентов в аппроксимациях нелинейных функций при $I=0$ (автономная система) выявило лишь нелинейные колебательные режимы, сходные с приведенными в [6], которые носили регулярный характер. Оценка временных масштабов



Временные зависимости переменной x (вверху) и положения изображающей точки на фазовой плоскости (x, y) в дискретные моменты времени через период воздействия (внизу), полученные для значений параметров системы (1): $A=143.0$, $B=0.063$, $C=0.35$, $\xi=0.01$, $\mu_0=0.0197$, $\mu=0.25$, $x_1=-0.0125$, $x_2=-0.00125$, $\xi_0=1.0$, $\xi=0.013$, $b=30.0$, $\Omega=1$.

Значения параметра I : $a - 1.4 \cdot 10^{-3}$, $б - 2.1 \cdot 10^{-4}$, $в - 4.895 \cdot 10^{-4}$, $г - 5.3147 \cdot 10^{-4}$.

возникающих колебаний имеет порядок 10^{-10} с, что соответствует данным экспериментов. В случае линейной зависимости дрейфовой скорости от E [$V(x) = \mu_0 x$] в автономной системе имело место стационарное состояние либо решение неограниченно нарастало, т. е. система переставала быть автоколебательной.

Картина качественно меняется при $I \neq 0$. В области параметров, соответствующих слабому возбуждению автономной системы и частоте внешнего воздействия, отличной от частоты собственных колебаний, наблюдались квазипериодические режимы, а в области синхронизации частоты с увеличением I имела место последовательность колебательных режимов с удваивающимся периодом, заканчивающаяся хаосом. Этот переход показан на рисунке, где приведены соответствующие зависимости от времени переменной x и проекции на плоскость (x, y) положений, изображающей точки на фазовом портрете системы в последовательные моменты времени через период внешнего воздействия (стробоскопическое сечение). Число точек на таком фазовом портрете равно периоду колебаний в системе в единицах периода воздействия, а неповторяющаяся последовательность точек при больших I (рис. 1, г) свидетельствует о хаотическом поведении системы. Величина внешнего воздействия, соответствующая стохастизации колебаний, была на 4 порядка меньше постоянного смещения и меньше характерных величин колебательных процессов: $|I/[V(x) \times (1+y)+y]| \approx 10$, т. е. даже сравнительно небольшое периодическое воздействие приводило к усложнению динамики системы в соответствии с типовыми сценариями перехода к хаосу в нелинейных динамических системах. Это указывает на возможность нелинейной хаотизации процессов в системе (1) за счет слабых периодических колебаний, природа которых не учитывается моделью [6],

например возбуждения резонансной моды внешней электродинамической системы или самого полупроводникового образца.

Выражаем признательность В. В. Владимирову за консультацию в процессе работы.

Список литературы

- [1] Larrabee R. D., Hicinbothem W. A. // Simp. on plasma effects in solids. Paris, 1965. 181 p.
- [2] Haller E. E., Teitsworth S. W., Westerwelt R. M. // Phys. Rev. Lett. 1983. V. 51. N 9. P. 825—828.
- [3] Held G. A., Jeffries C., Haller E. E. // Phys. Rev. Lett. 1984. V. 52. N 12. P. 1037—1040.
- [4] Пирагас К. А. // ФТП. 1983. Т. 17. В. 6. С. 1035—1039.
- [5] Бумялене С. Б., Пирагас К. А., Пожела Ю. К., Томашевичус Л. В. // ФТП. 1986. Т. 20. В. 7. С. 1190—1194.
- [6] Владимиров В. В., Горшков В. Н. // ФТП. 1980. Т. 14. В. 3. С. 417—423.

Институт радиотехники и электроники
АН СССР
Москва

Получено 10.11.1988
Принято к печати 15.05.1989

ФТП, том 23, вып. 9, 1989

К ТЕОРИИ ПЛАЗМЕННЫХ ВОЛН В СЛОИСТЫХ СТРУКТУРАХ

Ермолин А. В., Кучма А. Е., Свердлов В. А.

Исследование условий распространения плазменных волн в неоднородных проводящих пленках и поверхностных слоях представляет интерес с точки зрения электронной теории как переходных слоев на границах раздела, так и искусственно создаваемых путем неоднородного легирования систем [1—3]. Изучаются, в частности, вопросы, связанные с возникновением в таких системах новых типов колебаний, обусловленных особенностями их диэлектрических свойств.

В настоящей работе в потенциальном приближении рассматриваются плазменные колебания в системе с неоднородным профилем электронной плотности $n(x)$. В отличие от подхода, принятого в [1, 2], исходным при получении дисперсионного уравнения является интегральное уравнение для возмущения электронной плотности ρ . Для волны вида $\exp(-i\omega t +iky)$ это уравнение имеет вид

$$\rho(x) = -\frac{\varepsilon'(x)}{2\varepsilon(x)} \int dx' \operatorname{sgn}(x-x') \exp(-k|x-x'|) \rho(x'), \quad (1)$$

где $\varepsilon(x)$ — локальная диэлектрическая проницаемость,

$$\varepsilon(x) = 1 + \frac{4\pi i}{\omega} \sigma(x).$$

Для проводимости $\sigma(x)$, как и в [1, 2], используется модель Друде

$$\sigma(x) = \frac{in(x)e^2}{m\omega}.$$

Из (1) следует, что возмущение плотности отлично от нуля только в области изменения $\varepsilon(x)$. Если ширина L этой области мала, так что выполнено условие $kL \ll 1$, ядро в (1) можно разложить в ряд по степеням kL . Ограничиваясь в этом разложении линейными по kL членами, уравнение (1) переписываем в виде

$$\rho(x) = -\frac{\varepsilon'(x)}{2\varepsilon(x)} \int dx' \operatorname{sgn}(x-x') (1 - k|x-x'|) \rho(x'). \quad (2)$$